

III-21 不飽和土の間ヶキ水圧についての一考察

阪神コンサルタンツ 正員 渡辺 弘

はじめに ---不飽和土のせん断強度、体積変化挙動を有効応力の項で説明しようとする試みは Bishop, Donald, Jennings, Burland, Blight, Matyas …などにより古くから行なわれてあり強度に関する破壊状態での飽和土との比較のみが必要なこともある。で適当な仮定を導入すれば、問題はあるか何かと説明がついているようである。一方体積変化挙動では、変形途中の各段階での不飽和土と飽和土の挙動を比較する必要があり、一層困難となっている。不飽和土を有効応力を説明しようするために、外的応力による土の挙動と内的サフェシヨンによる土の挙動とは同一であると仮定し、有効応力の項での土の圧縮性は含水比や飽和度に無関係である。といった仮定をするのが普通だがいすれも怪しいようである。また土の状態を表わすのに飽和土と比べて不飽和土では更に飽和度と土の構造が必要と考えられる。後者についてこれにせん断をかけてとき問題となるのは微視的scaleでの構造上の再配列に伴なうサフェシヨンの変化と巨視的scaleでの応力-変形関係への影響であろう。次に swellingと collapseについて不飽和供試体を水浸させると拘束圧の大きさによって swelling して collapse が生じたりする。水浸によるサフェシヨン解放で圧縮低下する collapse 現象は有効応力では説明できないとされているが、これはサフェシヨン解放が土の構造に対して(1) intergranular応力の減少(2)土構造の剛性の減少といい、たゞこの効果をもつためであろう。以上は Matyas の文献よりピックアップしたものだが、こういうことを念頭において、土のせん断変形は、モービライスド面上での粒子接点角の平均値(β)がせん断に伴ないで変化する過程であるとする松岡の考え方を導入する。ある飽和度以下になると水はもやは局部(粒子同士)的にとどまつておる。サフェシヨンによる内的力は相隣る粒子の接点に個別に働くと考えられよう。このように考えると、もしサフェシヨンの値そのものがせん断中に変化しなくてもせん断を行う過程で β が変化することから、 β のいかなる関数でサフェシヨンによる内的力の方向が変化するかはわからぬが、とにかく巨視的scale 例えは供試体での σ' に対するサフェシヨンの寄与はそれそれ異なってくる。すなわち サフェシヨンそのものは単なるスカラ量であっても 例えは実験等の主応力面で

整理する場合飽和土での間ヶキ水圧のような扱いではなく、その面への成分として取扱うことが必要となる。当然その成分の差はせん断が進むにつれて大きくなる。

今回の実験ではその一stepとして不飽和砂のせん断試験を行ひ、て乾燥砂の挙動と比べてみた。乾燥砂については予備実験から松岡の式に合うことがわかったのですべて計算値を用ひ、不飽和砂のdataと比較してサフェシヨンの項が巨視的に等方に働くらしく考えら

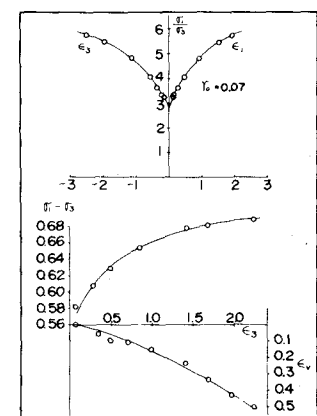
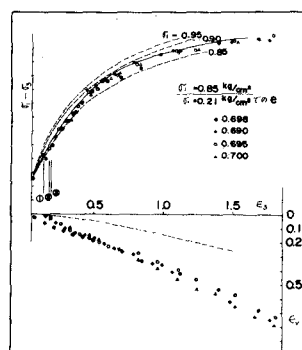


図-1 乾燥砂の実験値と計算値

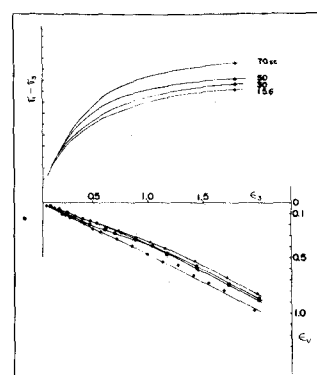


図-2 不飽和砂の実験値

れるかどうか又両挙動の差異が松岡の式における初期構造を反映するかの違いに起因するものかどうかを調べると同時に試算としてサフショーンの項についての考察を行なった。

実験方法…松岡による多軸試験機を用い、平面ひずみ条件($\sigma_1 = \text{const.}$, $\epsilon_3 = 0$)で、測定は ϵ_3 (ネジク回転), ϵ_1 (ダイヤルゲージ), σ_1 (ローチセル) サフショーンによる違いのみを取り出すために試料は豊浦標準砂を用い、590g の砂に 70, 50, 30, 15.6 cc の水を加えて 30 分間程混和し静的力を加えて所要の間隙比(目標 $e_0 = 0.69$)に詰めた(三相)。 σ_1 はすべて 0.85 kg/cm^2

結果および考察…図-1は不飽和砂と比較するのに松岡の式を用いているので、その妥当性について示したものでありよく合っているのがわかる。図-2は不飽和砂の実験値で、従動の $\sigma_1 - \epsilon_1$ は一目盛が 0.01 kg/cm^2 、飽和度によって $(\sigma_1 - \sigma_3) \sim \epsilon_3$, $\epsilon_1 \sim \epsilon_3$ 曲線上に明白な違いがみられる。横軸としては σ_1 が御であることから σ_1 をとったみた。 $\sigma_1 = 0.21 \text{ kg/cm}^2$ での ϵ_1 が同じにみるとようにしており載荷圧はすべて 0.85 kg/cm^2 で行なったことから、もレサフショーンが飽和砂における間隙水圧のことそのだとすれば、飽和度の低い方がサフショーンが大きいことから三軸試験におけるいわゆる等方圧密圧 σ_3 が大きいことになり($\sigma_1 - \sigma_3 \sim \epsilon_3$ 、肉薄のたちあがりが急になると予想されるが実験値は $(\sigma_1 - \sigma_3) \sim \epsilon_3$ については全く逆であろうが ϵ_1 についてはダイレイタリーシーにより飽和度の低い方が予想通り大きくなる)。以上 4 個の data の座標軸を適当にずらすと図-3 のように $(\sigma_1 - \sigma_3) \sim \epsilon_3$, $\epsilon_1 \sim \epsilon_3$ がうまく一致した。図中の①②③はそれぞれ 50, 30, 15.6 cc の座標軸の位置を示している。松岡による K_0 試験の解釈を乱暴に適用すると飽和度が小さくなるにつれて $\sigma_1 / \sigma_3 = (\sigma_1 - \sigma_3) / (\sigma_3 - \sigma_1)$ の値が大きくなるとも考えられる。すなわちせん断が進むといが裏方的となる。ここに σ_1, σ_3 はサフショーンの項を巨視的にみた場合の σ_1, σ_3 方向の成分。以下ではサフショーンの項を等方的るものとして考慮する。一般に $K_0 = (\sigma_3 - \sigma_1) / (\sigma_1 - \sigma_3)$ であり前掲論文では 0.3~0.33 位だったのを逆算して σ_1 を求めると全て $0.07 \sim 0.08 \text{ kg/cm}^2$ 程度で飽和度による差は今回の data ではでてこなかった。これより $\sigma_1 = 0.85 + 0.08 = 0.93 \text{ kg/cm}^2$ 図-3 の破線はちなみに乾燥砂の $(\sigma_1 - \sigma_3) \sim \epsilon_3$, $\epsilon_1 \sim \epsilon_3$ を $\sigma_1 = 0.95, 0.90, 0.85$ ($e_0 = 0.69$ の場合) について描いてある。どちらも一致しそうがない。そこで初期の構造により定まる σ_1 の値をいろいろ変化させて合ふかどうか調べた。図-4~7 がそれであり、例えば図-4 について説明すると左図の実線が実験値、一、二、三点録線はそれそれ $\sigma_1 = 0.007, 0.005, 0.01$ での $\sigma_1 = 0.95$ の曲線群でありどれも合はそうにない。そこで途中で σ_1 が変化するか仮定して実験値に近づけようとしたのが右図である。 ϵ_3 と共に σ_1 が変化。しかし右図での実験値と計算値との差を求めると、最初に仮定した 0.08 kg/cm^2 とは全く異なってくる。これはすべてサフショーンの項を等方としたことに起因ある。

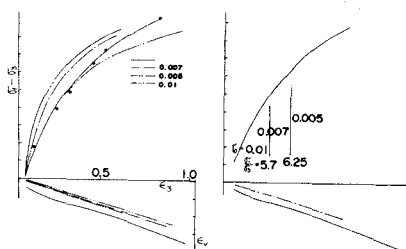


図-4 70cc 含水の不飽和砂

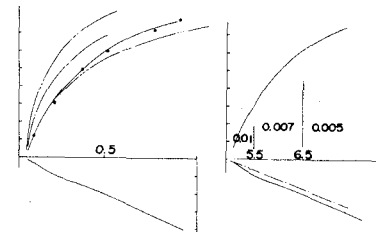


図-5 50cc 含水の不飽和砂

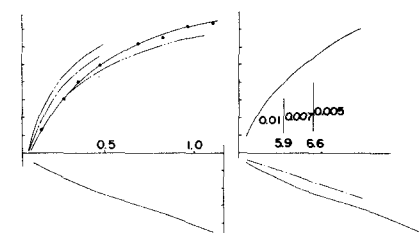


図-6 30cc 含水の不飽和砂

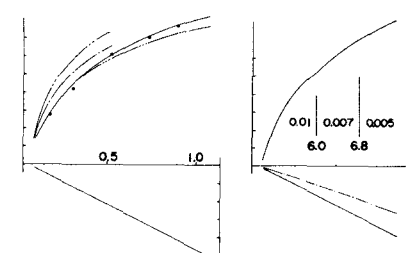


図-7 15.6cc 含水の不飽和砂

参考文献 (1) Matyas : Volume change characteristics of partially saturated soils, Geotech. 1968 (2) 伊豆子・松岡：せん断時の土の応力-ひずみ関係について、東大防災年報 5-47 (3) 松岡・橋本：多軸試験機の操作とその測定結果の解析について、第8回土壤